

## Reaction of Nitric Oxide with Cu(111) Single Crystal

Zeini Isfahani, A.

Department of Chemistry, Isfahan University, Isfahan, IRAN.

Roberts, M. W.

School of Chemistry and Applied Chemistry, Cardiff University, Cardiff, England.

**Key Words:** *Adsorption of Nitric Oxide, X-ray photoelectron spectroscopy (XPS), High resolution electron energy loss spectroscopy.*

**Abstract:** The adsorption of nitric oxide on a Cu(111) surface has been studied using X-ray photoelectron (XPS) and high resolution electron energy loss spectroscopies (HREEL) in the temperature range 80-410 K. Nitric oxide had no interaction with surface at room temperature, while it was adsorbed molecularly on unannealed Cu surface and then dissociated to nitrogen and oxygen atoms. Exposure of surface to NO at 80K showed molecular adsorption of NO and N<sub>2</sub>O. The exposure dependent HREEL spectra of NO at the clean Cu surface at 80K and for subsequent warming up to room temperature showed loss peaks at 344 cm<sup>-1</sup>, 680 cm<sup>-1</sup>, 1525 cm<sup>-1</sup>, 1830 cm<sup>-1</sup>, and 2140 cm<sup>-1</sup>. The vibrational mode at 1830 cm<sup>-1</sup> was assigned to N-O stretch of NO bonded in a top position, the 1525 cm<sup>-1</sup> loss peak was attributed to the N-O stretch of NO bonded in two fold bridge sites, the loss peak at 680 cm<sup>-1</sup> was assigned to a bending mode of NO<sub>(ads)</sub> the loss peak at 2140 cm<sup>-1</sup> was due to (N-N) stretching mode of N<sub>2</sub>O formed. The intense feature at 344 cm<sup>-1</sup> was identified as the Cu-NO stretching mode.

## پژوهشی

### واکنش اکسید ازت با تک بلور مس (111)

اصغر زینی اصفهانی

اصفهان - دانشگاه اصفهان - بخش شیمی - صندوق پستی ۸۱۷۷۴

م. و. رابرتر

انگلستان - کاردیف - دانشگاه ولز - دانشکدهٔ شیمی و شیمی کاربردی

چکیده: چگونگی جذب اکسید ازت به وسیله سطح (111) یک تک بلور مس با استفاده از روش طیف‌نمایی فتوالکترون پرتوایکس (XPS) و طیف‌نمایی با قدرت تفکیک بالا از گاهش انرژی الکترون (HREELS) در گسترهٔ دمایی ۸۰ تا ۴۱۰ K مورد مطالعه قرار گرفته است. اکسید ازت با سطح مس هموار در دمای اتاق برهم‌کنشی ندارد، در حالی که سطح مس ناهموار آن را به صورت مولکولی جذب می‌کند و سپس به اتمهای نیتروژن و اکسیژن درمی‌آید. وقتی سطح مس در دمای ۸۰ K در معرض اکسید ازت قرار می‌گیرد، گونه‌های NO و N<sub>2</sub>O که به صورت مولکولی جذب شده‌اند آشکار می‌شوند. طیف‌های حاصل از طیف‌سنجدی با قدرت تفکیک بالا از گاهش انرژی الکترون نشان می‌دهد که اگر سطح تمیز مس در دمای ۸۰ K در معرض NO قرار گیرد، و سپس لایهٔ جذب شده تا دمای اتاق گرم شود، قله‌های کاهشی در ۶۸۰ cm<sup>-1</sup>، ۳۴۴ cm<sup>-1</sup>، ۲۱۴۰ cm<sup>-1</sup> و ۱۸۳۰ cm<sup>-1</sup> آشکار می‌شوند. عدد موجی در ۳۴۴ cm<sup>-1</sup> به مُد ارتعاشی - کششی Cu-NO، عدد موجی در ۶۸۰ cm<sup>-1</sup> به مُد خمثی NO(ads) و عدد موجی در ۱۵۲۵ cm<sup>-1</sup> به مُد ارتعاشی - کششی NO که با سطح مس به صورت پُل دوتایی Cu-Cu قرار می‌گیرد نسبت داده می‌شود، در حالی که عدد موجی در ۱۸۳۰ cm<sup>-1</sup> را به مُد ارتعاشی - کششی NO که نسبت به سطح مس ایستاده قرار دارد و عدد موجی در ۲۱۴۰ cm<sup>-1</sup> را به مُد ارتعاشی - کششی (N-N) مولکول N<sub>2</sub>O می‌توان نسبت داد.

واژه‌های کلیدی: جذب اکسید نیتریک، روش طیف‌نمایی فتوالکترون پرتوایکس و طیف‌نمایی با قدرت تفکیک بالا از گاهش انرژی الکترون.

### مقدمه

با استفاده از طیف‌نمايی از کاهش انرژی الکترون می‌توان اطلاعات ساختاری از ماهیت گونه‌های مولکولی موجود بر سطوح را تعیین کرد [۱ و ۲] و با به کار گیری قاعده‌گزینش سطحی، می‌توان بسامد و شدت نوارهای ارتعاشی موجود در طیف کاهش انرژی الکترون را به جهت گیری مولکول‌ها در سطوح نیز ربط داد [۳]. مطالعات زیادی در مورد برهم‌کنش اکسید ازت با سطوح تک بلورهای مختلف صورت گرفته و جذب آن به صورت تفکیکی و مولکولی گزارش شده است. مطالعات جذب اکسید ازت به وسیله سطوح Pd(111)، Ag(111) [۴] و Pt(111) [۵] نشان داده‌اند که جذب به صورت مولکولی، روی سطح Ni(111) [۶] در دمای پایین به صورت مولکولی و در دمای بالا به صورت تفکیکی صورت می‌گیرد. تفکیک حزئی NO با تشکیل  $N_2O$  روی سطوح Al(0001) [۹] و Zn(0001) [۱۰] در دماهای زیر K ۱۰۰ نیز گزارش شده است.

در این بررسی از هر دو روش دقیق XPS و HREELS، جذب سطحی اکسید ازت به وسیله سطح هموار و ناهموار مس استفاده شده است.

### آشنایی با وسائل و روش کار

دستگاه‌ایی که در این بررسی به کار برده شدند طیف‌نماهای فوتوالکترون پرتو ایکس و ارتعاشی بوده‌اند که با پراش الکترونها با انرژی پایین نیز تلفیق شدند [۱۱ و ۱۲]. تجهیزات طیف‌نمایی فوتوالکترون پرتو ایکس (XPS) ساخت شرکت V. G. Scientific (V. G. Scientific) و تجهیزات طیف‌نمایی با قدرت تفکیک بالا از کاهش انرژی الکترون (HREELS) ساخت شرکت Vacuum science workshop (SPECTRA) بوده است. داده‌ها و اطلاعات حاصل از طیف‌سنجهای با استفاده از نرم‌افزار موجود (SPECTRA) جمع‌آوری شدند و با استفاده از نرم‌افزار تکمیل شده در آزمایشگاه [۱۳] مورد بررسی قرار گرفتند. پوشیدگی سطح با استفاده از اطلاعات سطح مقطع یونش نوری اسکافیلد [۱۴] و ریل من [۱۵] و اطلاعات پویش آزاد متوسط پن [۱۶] محاسبه شدند. بلور مس قبل از قرار گرفتن در دستگاه به طور مکانیکی با خمیر الماس از قطر ۱۴۸ تا ۲۵۰ μm صیقل داده شد.

تمیز کردن سطح مس با بمباران متوالی آن با یون آرگون ( $20\mu A cm^{-2}$ ، ۵CV)

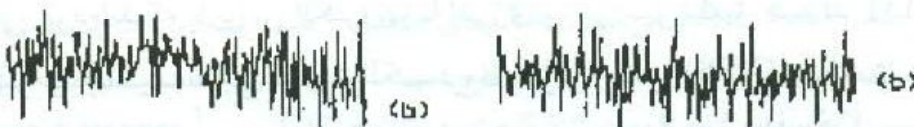
در دمای اتاق و نرم کردن آن تا  $40^{\circ}\text{C}$  تا آنجا که هیچگونه ناخالصی سطحی از جمله کربن و اکسیژن مشاهده نگردد ادامه می‌یافتد. درجهٔ خلوص NO مورد استفاده ۹۹/۹۹٪ بوده است که برای خالصتر شدن با پمپ کردن پی در پی ازت مایع آن را منجمد کردیم. درجهٔ خلوص تمام گازهای به کار برده شده به وسیلهٔ طیف‌سنج جرمی Multiquad quadrupole (Ledamass Ltd.) بررسی شدند.

### بحث و بوداشت

**جذب اکسید ازت به وسیلهٔ سطح تک بلور مس در دمای اتاق**  
 شکل ۱ نواحی طیفی O(1s) و N(1s)، را هنگامی که سطح هموار مس در دمای اتاق در معرض اکسید ازت قرار می‌گیرد نشان می‌دهد. از طیفها پیداست که، اکسید ازت در دمای اتاق حتی هنگامی که سطح مس در معرض  $30\text{ لانگ مولیر}$  ( $1\text{L}=10^{-6}\text{Torr}$ )  $\text{sec}^{-1}$  اکسید ازت قرار می‌گیرد هیچگونه جذبی صورت نمی‌گیرد. این مشاهده ما را برابر آن داشت تا جذب اکسید ازت را به وسیلهٔ سطح مس ناهموار را مورد مطالعه قرار

O(1s)

N(1s)



(a)

(b)

(c)

(d)

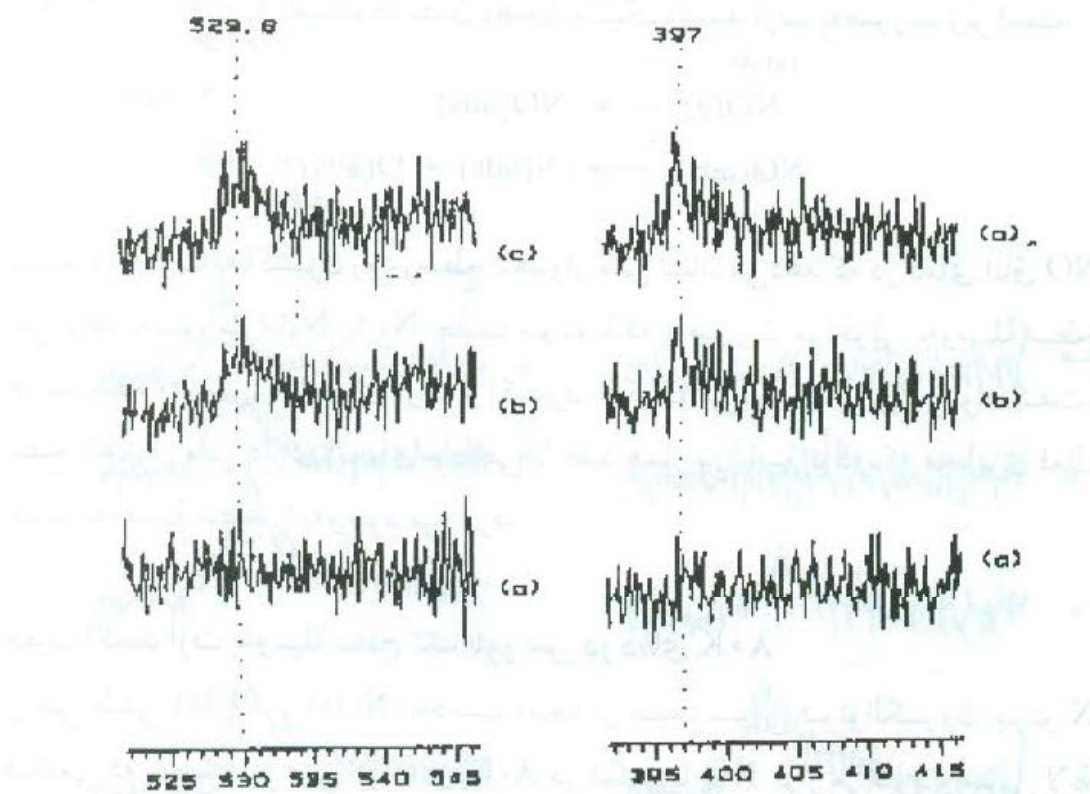
525 530 535 540 545

395 400 405 410 415

(ev) انرژی پیوندی

(ev) انرژی پیوندی

شکل ۱- نواحی طیفی O(1s) و N(1s) هنگامی که سطح مس هموار در دمای اتاق در معرض اکسید ازت قرار می‌گیرد. (a) L ۲۸ و (b) L ۳۰



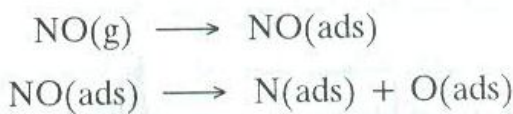
(ev) انرژی پیوندی (ev)

شکل ۲ - نواحی طیفی  $O(1s)$  و  $N(1s)$  هنگامی که سطح مس ناهموار در دمای اتاق در معرض اکسید ازت قرار می‌گیرد. (a) سطح تمیز، (b)  $L_{2/4}$ ، (c)  $L_c$

دهیم، و بهینیم آیا یک سطح ناهموار مس به جذب اکسید ازت در دمای اتاق کمک می‌کند یا نه؟

شکل ۲ نواحی طیفی  $O(1s)$  و  $N(1s)$  را برای آزمایش مشابه شکل ۱ بر روی یک سطح ناهموار مس نشان می‌دهد. در این آزمایش سطح مس را به مدت ۲۰ دقیقه در دمای اتاق با یونهای آرگون بمباران کردیم و سپس بدون هموار کردن سطح آن را در با اکسید ازت در تماس قرار دادیم. هنگامی که سطح مس با  $L_{2/4}$  اکسید ازت در تماس قرار گرفت، در ناحیه طیفی  $O(1s)$  یک قله مشخص با انرژی پیوندی  $529.8 \text{ eV}$  و همراه با آن یک قله  $N(1s)$  با انرژی پیوندی  $397 \text{ eV}$  مشاهده شدند. این قله‌ها کاملاً مشخص بودند و به اتمهای اکسیژن و ازت جذب شده به صورت شیمیایی نسبت داده می‌شوند [۱۷ و ۱۸]. تخمین پوشش سطحی اتمهای جذب شده نشان داد که نسبت قله‌های

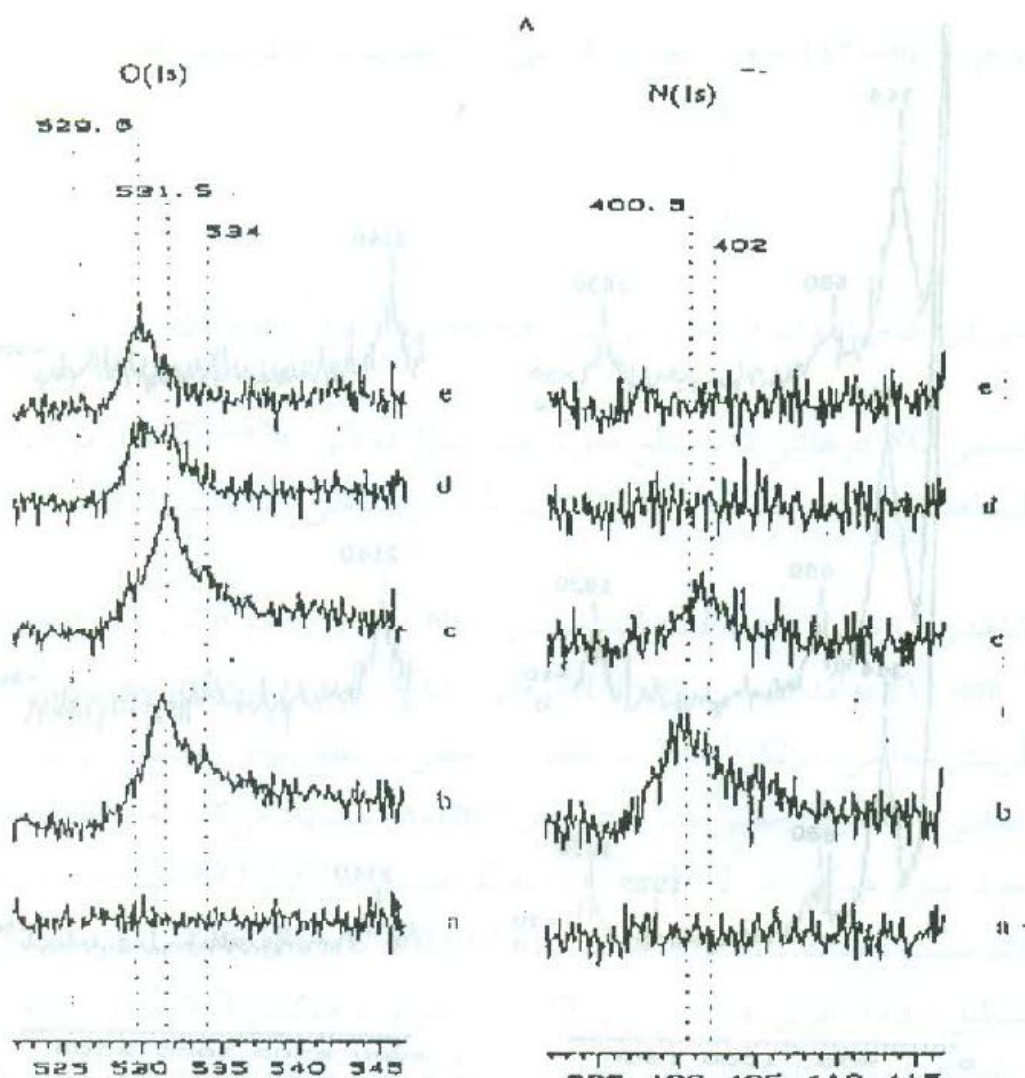
نیاز است، که نشان دهنده تفکیک اکسید ازت به صورت زیر است:



نسبت ۱:۱ ازت به اکسیژن روی سطح ناهموار مس نشان می‌دهد که در دمای اتاق NO نمی‌تواند به صورت  $\text{O(1s)}$  یا  $\text{N}_2\text{O}$  جذب شود، بلکه به صورت مولکولی به وسیله سطح جذب شده و سپس به اتمهای ازت و اکسیژن تفکیک می‌یابد. بنابراین می‌توان گفت، سطح ناهموار مس دارای اتمهای سطحی با عدد همارایی پایین بوده، که محلهای فعال جذب به وسیله سطح را به وجود می‌آورد.

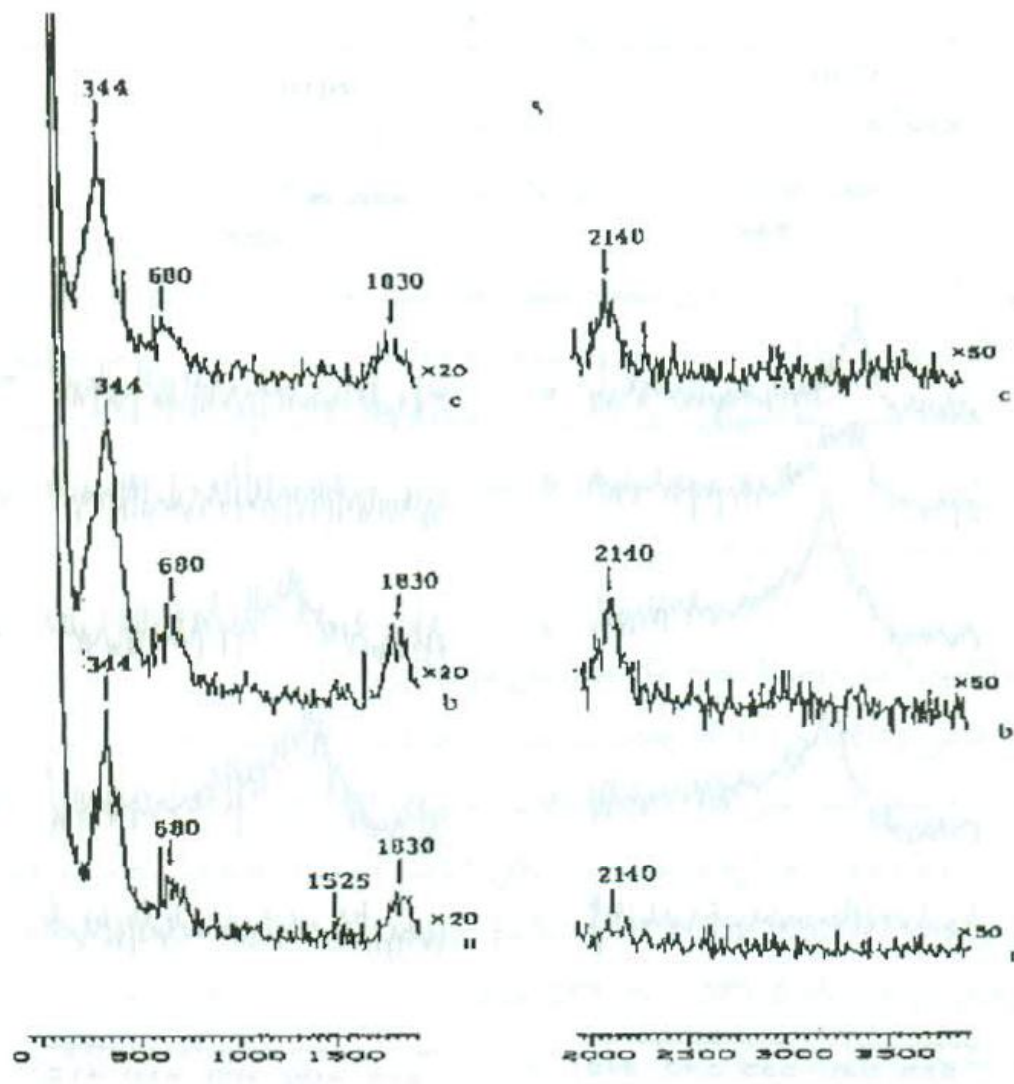
### جذب اکسید ازت به وسیله سطح تک بلور مس در دمای $80^\circ\text{K}$

ناواحی طیفی  $\text{O(1s)}$  و  $\text{N(1s)}$  به دست آمده از طیف‌سنجدی فوتوالکترون پرتو X هنگامی که سطح تمیز مس در دمای  $80^\circ\text{K}$  در تماس با  $\text{NO}$  قرار می‌گیرد و سپس لایه جذب شده تا دمای اتاق گرم می‌شود در شکل ۳ دیده می‌شود. هنگامی که سطح مس در تماس با  $6\text{L}$  اکسید ازت قرار داده شد یک طیف پهن  $\text{O(1s)}$  شامل دو قله با انرژی‌های پیوندی  $531/5\text{ ev}$  و  $534\text{ ev}$  ظاهر شدند. طیف  $\text{N(1s)}$  همخوان آن نیز به صورت یک طیف پهن با دو قله با انرژی پیوندی  $531/5\text{ ev}$  و  $534\text{ ev}$  به  $\text{NO}$  جذب شده به صورت مولکولی نسبت داده می‌شوند، که با اطلاعات موجود در منابع موافقت دارد [۸]. قله‌های  $\text{O(1s)}$  با انرژی‌های پیوندی  $531/5\text{ ev}$  و  $534\text{ ev}$  را به مولکول  $\text{N}_2\text{O}$  تشکیل شده از مولکول  $\text{NO}$  می‌توان نسبت داد. گرم کردن لایه جذب شده تا  $210^\circ\text{K}$  منجر به ظهر یک قله در ناحیه طیفی  $\text{O(1s)}$  با انرژی پیوندی  $529/6\text{ ev}$  شد، که این قله به اکسیژن جذب شده به طریق شیمیایی نسبت داده می‌شود. پیدایش این قله، تفکیک  $\text{NO}$  را روی سطح و در این دما نشان می‌دهد. طیفهای  $\text{N(1s)}$  با انرژی‌های پیوندی  $400/5\text{ ev}$  و  $402\text{ ev}$  در دمای  $210^\circ\text{K}$  واجذب شده، به طوری که در دمای اتاق ازتی بر سطح مشاهده نمی‌شود.



شکل ۳ - نواحی طیفی گرم O(1s) و N(1s) هنگامی که سطح مس در دمای K ۸۰ در معرض اکسید ازت قرار می‌گیرد و سپس لایه جذب شده تا دمای اتاق گرم می‌شود: (a) سطح تمیز، (b) L کردن لایه جذب شده تا K ۱۱۰، (c) ۲۱۰ K، (d) ۲۱۰ K، (e) دمای اتاق.

شکل ۴ طیفهای با قدرت تفکیک بالا از کاهش انرژی الکترون را برای هنگامی که سطح تمیز مس در دمای K ۸۰ در معرض مقادیر مختلف NO قرار می‌گیرد نشان می‌دهد. پس از آن که سطح مس در معرض ۶ L اکسید ازت قرار گرفت، قلهای کاهشی در  $2140\text{ cm}^{-1}$ ,  $1830\text{ cm}^{-1}$ ,  $1525\text{ cm}^{-1}$ ,  $1180\text{ cm}^{-1}$ ,  $344\text{ cm}^{-1}$  آشکار شدند. هنگامی که سطح مس در معرض مقادیر بیشتر NO قرار گرفت، هیچ جابجائی در موقعیت قلهای ارتعاشی مشاهده نشد.



شکل ۴- طیف‌های نقصان انرژی الکترون با قدرت تفکیک بالا هنگامی که سطح مس در دمای  $80\text{ K}$  در معرض اکسید ازت قرار می‌گیرد. (a)  $6\text{ L}$ ، (b)  $12\text{ L}$ ، (c)  $12\text{ L}$

این طیفها نشان می‌دهند، هنگامی که سطح مس در دمای  $80\text{ K}$  در معرض  $\text{NO}$  قرار می‌گیرد،  $\text{NO}$  به صورت مولکولی جذب می‌شود. زیرا، نوارهای ارتعاشی مربوط به  $\text{N(ads)}$  و  $\text{O(ads)}$  مشاهده نمی‌شوند. نوارهای مورد انتظار برای جذب  $\text{NO}$  به صورت مولکولی، عبارت است از مُد‌های کششی و خمشی مولکول  $\text{NO}$  جذب شده و مُد کششی مولکول  $\text{NO}$  با ماده جاذب. در مقایسه با مراجع موجود [۱۹ و ۲۰]، عدد

موجی  $1830\text{cm}^{-1}$  به مُد ارتعاشی کششی  $\text{NO}$  جذب شده در حالتی که نسبت به سطح



مس در وضعیت قائم  $\text{Cu}$  قرار می‌گیرد، قله کاهشی ناحیه  $1525\text{cm}^{-1}$  به مُد ارتعاشی -

کششی  $\text{NO}$  در حالتی که با سطح مس به صورت پُل دوتائی  $\text{Cu}-\overset{|}{\text{Cu}}$  قرار می‌گیرد، قله

کاهشی شدید ناحیه  $344\text{cm}^{-1}$  به مُد ارتعاشی -کششی  $\text{Cu-NO}$  و قله



کاهشی ناحیه  $680\text{cm}^{-1}$  به مُد خمثی  $\text{NO}$  جذب شده  $\text{Cu}$  و قله کاهشی در

$2140\text{cm}^{-1}$  به مُد کششی ( $\text{N-N}$ ) مولکول  $\text{N}_2\text{O}$  نسبت داده می‌شوند. بنابر قاعده

گزینش سطحی، مولکول  $\text{NO}$  که به صورت خطی با سطح پیوند دارد نبایستی دارای مُد

خمثی باشد، ولی حضور مُد خمثی در  $680\text{cm}^{-1}$  پیشنهاد می‌کند که مولکول خمیده

است. سو و همکارانش [۲۱] این مُد را به مُد خمثی مولکول  $\text{NO}$  خمیده در وضعیت

قائم نسبت داده‌اند. اطلاعات حاصل از HREELS داده‌های XPS، را در مورد  $\text{N}_2\text{O}$

تشکیل شده از طریق تفکیک جزئی  $\text{NO}$  یا از طریق برهم‌کنش  $\text{NO-NO}$  تأیید می‌کند.

شكل ۵ طیفهای کاهش انرژی الکترون را هنگامی که سطح مس در دمای  $80\text{K}$  در

عرض  $\text{NO}$  قرار گرفته و سپس تا دمای اتاق گرم شده است را نشان می‌دهد. در دمای

$110\text{K}$  قله‌های  $110\text{cm}^{-1}$ ،  $680\text{cm}^{-1}$ ،  $1525\text{cm}^{-1}$  و  $1830\text{cm}^{-1}$  به‌طور کامل ناپدید شدند. در

دمای  $210\text{K}$  یک قله کاهشی شدید در  $3620\text{cm}^{-1}$  آشکار شد که این قله به مُد کششی

متقارن ( $\text{OH}$ ) در حالت قائم نسبت داده می‌شود [۲۲ و ۲۳ و ۲۴] و در دمای اتاق هیچ

قله کاهشی مشاهده نشد. حضور قله  $\text{O}(1s)$  با انرژی پیوندی  $531/5\text{eV}$  (شکل ۳) و

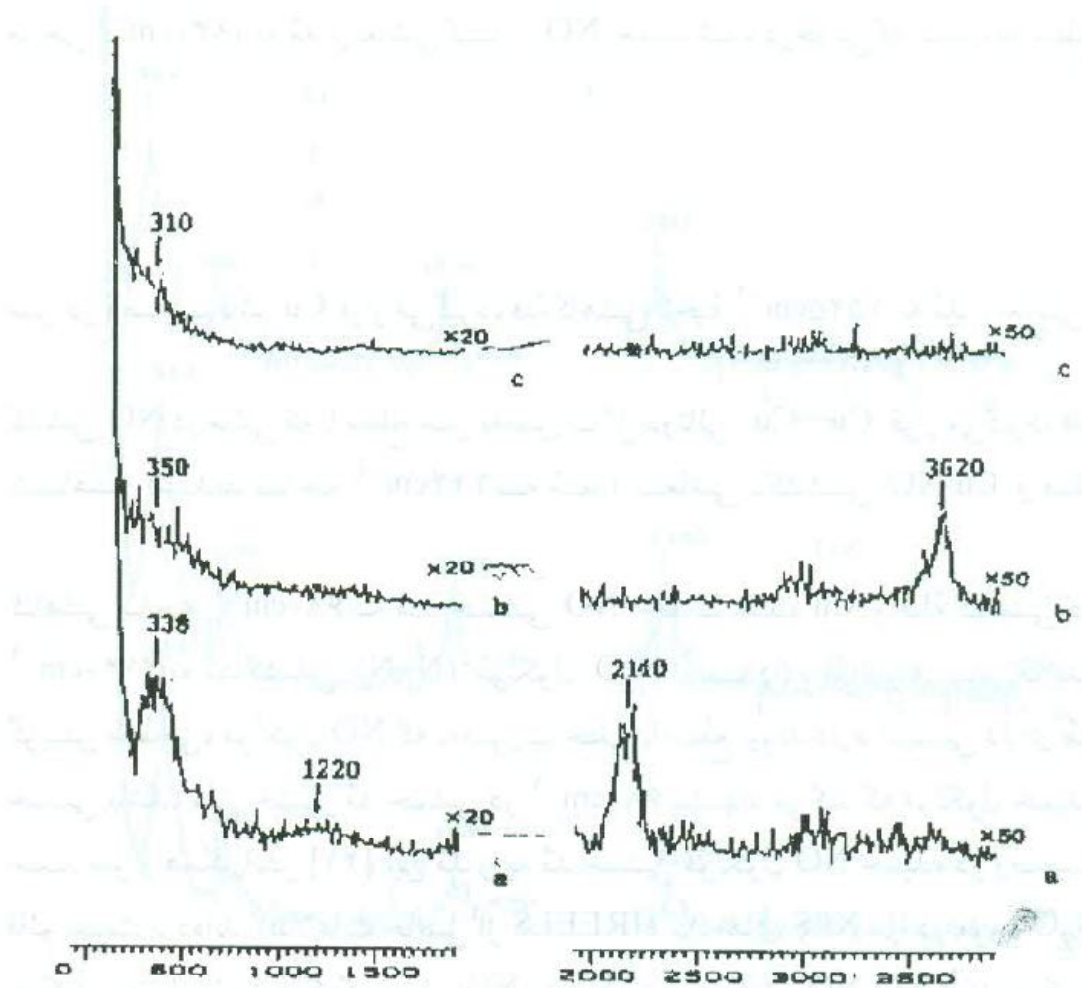
پیدایش قله کاهشی شدید در  $3620\text{cm}^{-1}$  (شکل ۵-۵) در دمای  $210\text{K}$  مربوط به

جذب آب موجود در دستگاه است. حضور آب، به سؤال چگونگی پیدایش قله

در ناحیه طیفی ( $\text{O}(1s)$  در دمای  $210\text{K}$ ) را پاسخ می‌دهد. پیشنهاد ما این

است که قله  $531/5\text{eV}$  به هر دو گونه  $\text{NO}$  مولکولی و هیدروکسیل مربوط است. چون

هیچ نوار کاهشی مربوط به  $\text{NO}$  مولکولی در دمای  $210\text{K}$  وجود ندارد (شکل ۵-۵)،



شکل ۵ - طیف‌های نقصان انرژی الکترون با قدرت تفکیک بالا بعد از جذب اکسید ازت در روی سطح مس در دمای  $80\text{ K}$  و گرم کردن لایه جذب شده تا دمای اتاق: (a)  $110\text{ K}$  (b)  $210\text{ K}$  (c) دمای اتاق.

پس قله  $531/\Delta\text{ev}$  باید مربوط به  $\text{OH}(\text{ads})$  در این دما باشد. گرم کردن لایه جذب شده تا دمای اتاق سبب واجذب گونه هیدروکسیل و ناپدید شدن کامل قله کاهشی در  $3620\text{ cm}^{-1}$  شده است.

### تشکر و قدردانی

از وزارت فرهنگ و آموزش عالی و دانشگاه اصفهان به خاطر حمایتهای مالی تقدیر و سپاسگزاری می‌شود.

## مراجع

1. Ibach, H. and Mills, D. L. (1982) Electron Energy Loss Spectroscopy and Surface Vibrations (Academic Press, New York).
2. Rao, C. N. R., Srinivasan A., and Jannathan, K. (1981) Intern. Rev. Phys. Chem. 1, 45.
3. Sheppard, N., and Erkelens, J. (1984) Appl. Spectrosc. 38, 471.
4. Miyazaki, E., Kojima, I., Orita, M., Sawa, K., Sanada, N., Miyahara, T., and Kato, H. (1986) Surface Sci. 176, L841.
5. Goddard, P. L., West, J., and Lambert, R. M. (1978) Surface Sci. 71, 447.
6. Kiskinova, M., Pirug, G., and Bonzedl, H. P. (1984) Surface Sci. 136, 285.
7. Sandell, A., Nilson, A., and Martensson, N. (1991) Surface Sci. Letters 241, L1.
8. Johnson, D. W., Matloob, M. H., and Roberts, M. W. (1979) J. Chem. Soc. Faraday Trans. L, 75, 2143.
9. Au, C. T., and Roberts, M. W. (1984) Proc. Roy. Soc. London A 396, 165.
10. Carley, A. F., and Roberts, M. W. (1978) Proc. Roy. Soc. London A 363, 403.
11. Zeini Isfahani, A., Roberts, M. W., Carley, A. F., Read, S. (1997) J. Sci. I.R. Iran Vol. 8, No. 3.
12. Zeini Isfahani, A., Roberts, M. W., Carley, A. F., Read, S. (1996) Iran. J. Chem. and Chem. Eng. Vol. 15 No. 1.
13. Carley, A. F. (1980) Ph. D. Thesis, Bradford University.
14. Scofield, J. H. (1976) J. Electron Spec. Rel. Phen. 8, p129.
15. Reliman, R. F., Msezane, A., and Mason, S. T. (1976) J. Electron Spec. Rel. Phen., 8, p389.
16. Penn, D. R. (1976) J. Electron Spec. Rel. Phen., 9, p29.
17. Kishi, K., and Roberts, M. W. (1976) Proc. Roy. Soc. London A352, 289.
18. Matloob, M. H., and Roberts, M. W. (1977) J. Chem. Soc. Faraday Trans. I, 73, 1393.
19. Nakamoto, K. (1986) Infrared and Raman Spectra of Inorganic and Coordination Compounds, 4th Edition (John Wiley & Sons, Now York).
20. Herzberg, G. (1945) Molecular Spectra and Molecular Structure II

- Infrared and Raman Spectra of Polyatomic Molecules, 2nd Edition Van Nostrand, Toronto.
21. So, S.K., Franchy, R., and Ho, W. (1989) J. Chem. Phys. 91, 5701.
  22. Carley, A. F., Davies, P. R., Roberts, M. W., and Thomas, K. K. (1990) Surface Sci. Letters 238, L467-472.
  23. AU, C. T., Carley, A. F., Pashuski, A., Read, S., Roberts, M. W., and Zeini-Isfahani, A. (1993) Adsorption on ordered surfaces of ionic solids and thin films, Vol. 33, P. 2411. Springer Verlag.
  24. Zeini-Isfahani, A., Robert, M. W., Carley, A. F., Read, S. (1994) Iran. J. Chem. and Chem. Eng. Vol. 13, No. 1.